



Foto 1.- Basaltos plagioclásicos del tramo 4 en la zona de Carrizal Alto. Destacan fenocristales de plagioclasa de 2-3 cm. de largo, marcando estructuras de flujo internas.

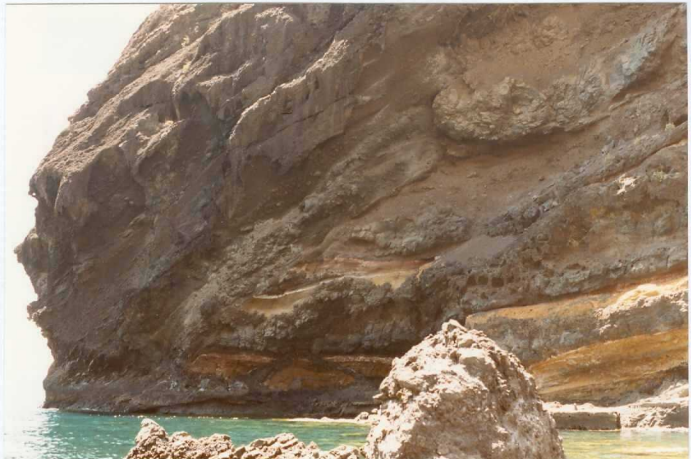


Foto 10.- Discordancia interna en el apilamiento de coladas basálticas del tramo 7, en el acantilado norte del Barranco de Masca. En el paquete inferior se observan niveles de sedimentos arenosos intercalados entre las coladas.



Foto 11.- Gran apilamiento de coladas basálticas delgadas pertenecientes al tramo 7, en la pared sur del Barranco de Masca.

Foto 12.- Apilamiento de coladas del tramo 7 atravesadas por numerosos diques, en el acantilado de la playa del Barranco Seco.





Foto 13.- Niveles de piroclástos finos bien estratificados del tramo 7, en la base del vértice Angel.

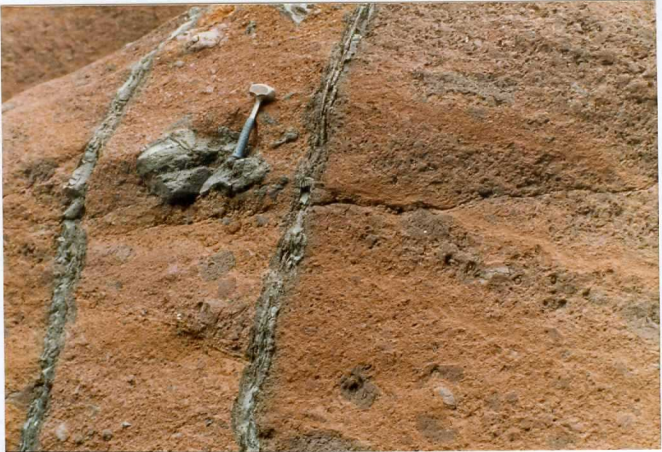


Foto 14.- Potente depósito de piroclástos soldados (lapillis y bombas) del tramo 7, cortado por diques, y rubefactados por oxidación, en el lecho de la parte baja del Barranco Seco.



Foto 15.- Dique basáltico con un ensanchamiento local cortando las coladas del tramo 7 en la playa del Barranco Seco. En la parte inferior izquierda se pueden observar niveles arenosos intercalados y quemados en el techo.



Foto 16.- Brecha basáltica polimíctica (9) que se apoya en contacto concordante neto sobre piroclástos finos gris-rojizos. Un dique potente de basalto (D) atraviesa a la brecha.



Foto 17.- Nivel de la brecha basáltica polimictica (9) (señalada con una B), vista desde el Roque Blanco hacia el N.. Encima, y de manera discordante, se apoyan coladas de la Formación tabular subhorizontal (10).



Foto 18.- Detalle de la brecha basáltica polimíctica (9) en la que destacan fragmentos de basaltos afaníticos y ankaramitas.



Foto 19.- Panorámica de la Formación tabular subhorizontal del vértice Gala, vista desde la Cabezada.



Foto 2.- Brecha de basaltos plagioclásicos (5) entre Carrizal Alto y Carrizal Bajo.



Foto 20.- Panorámica tabular subhorizontal del vértice Gala, vista desde Montaña de La Hoya. En primer término el Valle de Santiago del Teide rellenado por las coladas de Serie IV de Montaña de Bilma (20).



Foto 21.- Enclave peridotítico alterado en basalto afanítico de la Formación - tabular (10).



Foto 22.- Disyunción columnar horizontal en un dique que atraviesa las coladas del tramo 7, en Barranco Seco.



Foto 23.- Dique basáltico con bordes divagantes intruyendo sobre los niveles de basalto plagioclásico del tramo 4, en los Carrizales Altos.



Foto 24.- Borde enfriado divagante en dique basáltico que atraviesa el tramo de coladas 4 en el lecho del Barranco de la Mancha de Los Díaz.



Foto 25.-Diques basálticos verticales cortando las coladas básicas del tramo 7 en el Barranco de la Mancha de Los Díaz.



Foto 26.-Panorámica de las fonolitas del Roque Blanco atravesando las coladas basálticas del tramo 7. En primer término se encuentra el Barranco de Los nateros y, por detrás del Roque el Barranco de la Mancha de Los Díaz.



Foto 27.- Las tres facies de alteración orbicular (fina, media y gruesa) de - las fonolitas del Roque Blanco.



Foto 28.- Conos de Serie III (14) del campo de volcanes del E. de Santiago del Teide. Al fondo El Teide, Pico Viejo y sobre esta ladera domo traquí tico de los Roques Blancos.



Foto 29.- Cono piroclástico (14) de Las Lagunetas. En primer término relleno – sedimentario del Valle del Palmar visto desde las Laderas de Baracán.



Foto.3.- Disyunción esferoidal en ankaramitas del tramo 4, en la base del cerro Juan López.



Foto 30.- Canteras de piroclastos (14) de la Montaña del Banco.



Foto 31.- A la izquierda, potentes coladas de traquibasaltos de Serie I con - disyunción columnar que constituyen un paleorrelieve fosilizado por las coladas de basaltos de Serie III (13), a la derecha. Junto a la entrada de la galeria de San Fernando, al S. del Roque de Tomás Se- ché.



Foto 32.- Desde el repetidor situado en el vértice Gala (1.348 mts.). Vista panorámica del campo de volcanes situado al E. de Santiago del Teide, y del Valle del mismo nombre, a la derecha de la fotografía. A la izquierda, y cubierto por una espesa vegetación, se sitúa el pitón fonolítico de Tomás Seché (3). En segundo término y más a la derecha, conjunto de conos de los Riegos-Tomillos, y entre éstos y la Montaña de Bilma (a la derecha), las coladas basálticas históricas (en negro) del Chinchoro (29). Al fondo, relieves del Teide y Pico Viejo.



Foto 33.- Cono de piroclastos de Bilma (21); a la izquierda se observan las canteras de piroclastos. Al fondo a la derecha, destacan (en negro) las coladas del Chinyero (29) y, junto a la carretera en la curva, dique fonolítico (2) y relieve correspondiente a la Serie I.

Foto 34.- Aspecto del malpaís de Serie IV correspondiente al cono de piroclastos de Samara (21).





Foto 35.- Grupo de bombas, algunas de más de 1.5 mts., algo escoriaceas de -- composición basáltica (21), pertenecientes al cono de Boca Cangrejo. Algunas de tonos rojizos están bastante oxidadas.



Foto 36.- Próximo al límite sur de la hoja se observa este tubo de lava en materiales basálticos plagioclásicos.



Foto 37.- Vista del malpaís "aa" de basaltos plagioclásicos de la Serie IV (20) en la zona del Pinar de Chio a unos 2'5 km. al E. de Arguayo.



Foto 38.- Detalle de la colada de tranquibasaltos (20) de Montaña de Samara - con vacuolas estiradas.



Foto 39.- Detalle de estructura de lavas cordadas en el malpaís de Montaña de Samara (20) junto al km 10 de la Carretera Chio-Boca de Tauce.



Foto 4.- Basalto de grandes piroxenos y olivinos del tramo 4, en el lecho del Barranco de Masca.

Foto 40.- Disyunción esférica en colada de traquitas-fonolitas maficas (22) al sur de la hoja, (km 10¹⁸ de la carretera Chio-Boca de Tauce).





Foto 41.- Base escoriácea de colada traquítica (22) situada bajo las coladas - de Montaña Reventada y próximo al contacto con los piroclástos de Sa
mara (21), cerca del km 8 de la carretera de Chio a Boca de Tauce.



Foto 42.- Detalle de autolitos en la colada de traquitas (22) de la fotografía anterior.



Foto 43.- Desde el cono de Montaña Reventada (al fondo) vista del domo traquí-tico de los Roques Blancos, en la ladera de Pico Viejo. Obsérvese la gran potencia de estas coladas traquíticas (24).



Foto 44.- Detalle del malpaís "aa" de las traquitas de los Roques Blancos (24), en la zona de la calzada de Hernán Pérez. Junto al lapis, bloque de - obsidiana.



Foto 45.- Aspecto parcial del cono de escorias de Montaña Reventada (26), y escorias traquibasálticas produciendo malpaís de tipo "aa".



Foto 46.- Vista del malpaís "aa" de Montaña Reventada (25) rodeando al cono de piroclástos de Samara.



Foto 47.- Detalle de lavas cordadas pertenecientes a la formación de basaltos y traquibasáltos vesiculares (23) en el área SE. de la hoja al sur de Montaña Reventada.



Foto 48.- Cono de piroclástos del Chinyero (año 1.909) desde el Barranco de Abeque. En primer término, pequeño conito de piroclastos contemporáneo con él (30).



Foto 5.- Coladas brechoides de basaltos obsidiánicos con bandeados alternante, apoyándose concordantemente sobre materiales piroclásticos gris-rojizo. Curva de la carretera entre el collado de Cherfe y el Caserio de Masca, próximo a éste último.



Foto 6.- Detalle de las coladas brechoides obsidiánicas, en las que se observan los niveles negros de obsidianas.



Foto 7.- Formación brechoide del tramo 6 buzando al mar, en el Cerro de Catorce Reales. Encima de ella se depositan las coladas y escorias del tramo 7.

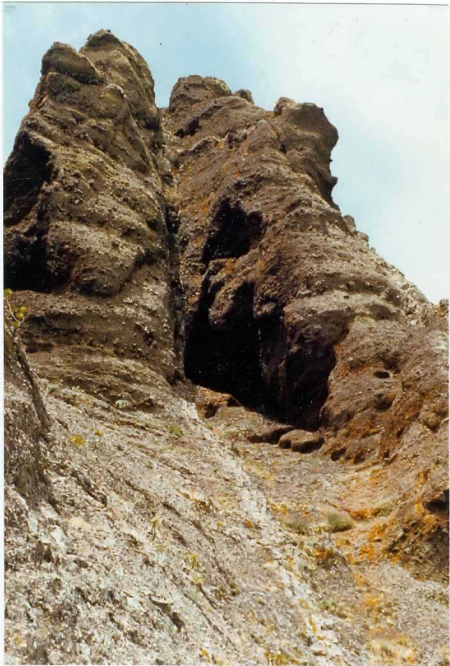


Foto 8.- Detalle de las brechas basálticas del tramo 6 en el pico de Las Aneas, intruidas por un dique vertical.



Foto 9.- Apilamiento de coladas basálticas del tramo 7 buzando al mar en el -
acantilado sur de la playa de Masca.